·临床研究。

# Sonazoid 超声造影在肾透明细胞癌诊断中的 可行性研究

黄 浩 张少飞 梁 华 土继政 张 凯 王博娟 郝 磊 王兴华

摘要目的对比分析肾透明细胞癌 Sonazoid超声造影与 SonoVue超声造影、增强 CT增强特征,探讨 Sonazoid超声造影在肾透明细胞癌诊断中的可行性。方法 选取我院经穿刺活检或手术病理证实的 47 例肾透明细胞癌患者(共47 个病灶),均行超声造影和增强 CT 检查,其中采用 SonoVue 进行超声造影的患者 21 例(SonoVue-CEUS组),采用 Sonazoid进行超声造影的患者 26 例(Sonazoid-CEUS组),比较两组病灶超声造影、增强 CT增强特征。结果 Sonazoid-CEUS组与 SonoVue-CEUS组在病灶增强方式、消退方式、峰值强度及达峰时增强均匀性方面比较差异均无统计学意义。 Sonazoid-CEUS组超声造影与增强 CT峰值强度均以富血供表现为主(80.77%、84.62%),增强及消退方式均以快进快退表现为主(73.08%、69.23%),二者比较差异均无统计学意义;超声造影示病灶达峰时均匀增强占比显著高于增强 CT (26.92% vs. 3.85%),差异有统计学意义(P<0.05)。结论 Sonazoid同样适用于肾脏超声造影,与SonoVue超声造影及增强 CT一样均可较好地显示肾透明细胞癌的血流灌注特征。

关键词 超声检查;造影剂;Sonazoid;SonoVue;肾脏肿瘤;增强CT

[中图法分类号]R445.1;R737.11

「文献标识码]A

# The feasibility study of Sonazoid contrast-enhanced ultrasound in the diagnosis of renal clear cell carcinoma

HUANG Hao, ZHANG Shaofei, LIANG Hua, TU Jizheng, ZHANG Kai, WANG Bojuan, HAO Lei, WANG Xinghua School of Medical Imaging, Shanxi Medical University, Taiyuan 030001, China

ABSTRACT Objective To compare and analyze the contrast-enhanced ultrasound (CEUS) features of Sonazoid, SonoVue and contrast-enhanced CT in renal clear cell carcinoma, and to explore the feasibility of Sonazoid CEUS in the diagnosis of renal clear cell carcinoma. Methods Forty-seven patients with renal clear cell carcinoma (47 lesions) confirmed by surgery or puncture pathology in our hospital were selected for CEUS and contrast-enhanced CT examination. According to the different types of ultrasound contrast agents, the patients were divided into SonoVue-CEUS group (21 cases) and Sonazoid-CEUS group (26 cases). The enhancement features of CEUS and contrast-enhanced CT were compared. Results There were no significant differences in lesion enhancement pattern, washout pattern, peak intensity and the homogeneity of enhancement at the peak between Sonazoid-CEUS group and SonoVue-CEUS group. In Sonazoid-CEUS group, both CEUS and contrast-enhanced CT primarily demonstrated a rich blood supply (80.77%, 84.62%), and a predominant fast-in and fast-out washout pattern (73.08%, 69.23%). The differences between the two groups were not statistically significant. Sonazoid-CEUS showed a significantly higher proportion of lesions with homogeneous enhancement at the peak compared with contrast-enhanced CT (26.92% vs. 3.85%), and the difference was statistically significant (P<0.05). Conclusion Sonazoid is equally suitable for kidney CEUS, and can better display the blood perfusion characteristics of renal clear cell carcinoma like SonoVue-CEUS and contrast-enhanced CT.

KEY WORDS Ultrasonography; Contrast agent; Sonazoid; SonoVue; Renal neoplasms; Contrast-enhanced CT

基金项目:山西省科技厅重点研发计划项目(201703D421029)

作者单位:030001 太原市,山西医科大学医学影像学院(黄浩、张少飞、梁华);山西医科大学第二医院超声科(土继政、张凯、王博娟、郝磊、 王兴华)

肾透明细胞癌是肾脏恶性肿瘤中最常见的病理 类型,约占肾脏恶性肿瘤的70%~80%[1]。研究[2]显示, 近年来肾透明细胞癌发病率和死亡率呈逐年上升趋 势,目起病隐匿,早期临床症状多不典型,部分患者确 诊时已进展至中晚期,预后较差。因此,早期准确诊 断对患者治疗方式的选择及预后至关重要。影像学 检查是目前临床诊断肾脏肿瘤的重要手段,增强CT可 通过特定预设的不同血管时相采集对比增强图像,对 病灶进行系统全面的评估,尤其对于多发性和特殊位 置病灶具有独特优势,是目前临床肾脏肿瘤定性、定 位诊断重要的影像学方法[3-4]。超声造影(contrastenhanced ultrasound, CEUS)可实时、连续动态观察各 个时相病灶内造影剂增强及消退过程,通过观察病灶 与周围组织不同的增强特征进行鉴别诊断,从而提高 病灶诊断的准确率。目前国内临床应用较为广泛的 是第二代超声造影剂 Sono Vue, Sonazoid 作为另一新型 超声造影剂在日本、韩国等国家已进行了较长时间的 临床应用,近年被正式批准进入我国,其稳定的性能 及肝脏 CEUS 中特有的 Kupffer 期成像, 使其在肝脏疾 病诊断过程中展现出独特的优势[5],目前Sonazoid应 用于肾脏 CEUS 的研究报道较少。基于此,本研究通 过对比分析肾透明细胞癌 Sonazoid-CEUS与SonoVue-CEUS、增强CT增强特征,探讨Sonazoid-CEUS在肾透 明细胞癌诊断中的可行性,旨在为临床诊治提供重要 依据。

#### 资料与方法

#### 一、研究对象

选取2020年6月至2023年2月我院经穿刺活检或手术病理证实的肾透明细胞癌患者47例,其中男30例,女17例,年龄39~81岁,平均(60.26±10.21)岁;有症状12例,包括肉眼血尿7例,腰痛及上腹部胀痛5例;均为单发病灶,其中位于左肾19例,右肾28例。47例患者中采用SonoVue-CEUS 21例(SonoVue-CEUS 组),男15例,女6例,年龄45~79岁,平均(61.72±9.85)岁,病灶最大径2.06~13.00 cm,平均(5.38±2.97)cm;采用Sonazoid-CEUS 26例(Sonazoid-CEUS 组),男15例,女11例,年龄39~81岁,平均(59.04±10.26)岁,病灶最大径2.17~10.21 cm,平均(5.37±2.12)cm。两组一般资料比较差异均无统计学意义。纳入标准:①均经穿刺活检或手术病理明确诊断;②均行CEUS 及增强CT检查,且留存有完整临床及影像学资料,两项检查间隔时间<1个月。排除标准:①既往行全身性或局部性

化疗或放疗者;②CEUS及增强CT图像质量不佳者。本研究经我院药物临床试验伦理委员会批准[批件编号:(2020)YX第(108)号],所有患者检查前告知检查相关内容及风险,且均签署知情同意书。

#### 二、仪器与方法

1. 造影剂:超声造影剂使用 SonoVue(意大利Bracco公司)和 Sonazoid(挪威 GE公司),两种超声造影剂均按照产品说明书要求严格配置。SonoVue使用前用 5.0 ml 生理盐水稀释冻干剂,充分振荡形成混悬液,经置入肘前臂静脉的 20 G 套管针以快速团注法注入 2.4 ml,随后用 5.0 ml 生理盐水冲管; Sonazoid 使用前用 2.0 ml 注射用水稀释冻干剂,充分振荡形成混悬液,每次注入剂量根据患者体质量计算(0.01 ml/kg),注射方法同 SonoVue。增强 CT 造影剂采用碘海醇[350 mgl/ml,通用电气药业(上海)有限公司],通过高压注射泵经患者外周静脉注入,剂量为 60~80 ml,流量为 2.0~3.5 ml/s。

2.CEUS检查:使用GE Logiq E 9彩色多普勒超声诊断仪,C1-6凸阵探头,频率 3~5 MHz;机械指数 (MI)分别为 0.07~0.15 (SonoVue-CEUS检查)、0.18~0.22 (Sonazoid-CEUS检查)。患者取仰卧位或侧卧位,先行常规超声观察病灶位置、大小、形态、内部回声及血流信号等;随后选择能清晰显示病灶及周围正常肾实质切面进行 CEUS检查。注入造影剂计时,对病灶进行皮质期(15~30 s)、实质期(25~240 s)扫查<sup>[6]</sup>,实时动态观察病灶各时相增强特征。Sonazoid在注射后 480~720 s后,即血管后期(Kuffer期),对肾门、腹膜后淋巴结及肝脏进行扫查,观察有无转移病灶。

3.增强 CT 检查:使用 GE 256 排 Revolution CT 仪或 Philips 124排 IQon-Spectral CT 仪。患者取仰卧位,先行常规腹部平扫,检查过程中患者需配合屏气,扫描范围从膈顶直至耻骨联合。结束后行增强扫描,在注射造影剂后 30 s、60 s、180 s分别行皮质期、实质期和排泄期不同时相增强扫描<sup>[7]</sup>,全方位多层面观察病灶所在位置、大小、形态、密度及各时相增强特征。

4.观察内容:对比分析病灶 Sonazoid-CEUS 与 SonoVue-CEUS、增强 CT 增强特征;增强特征包括:①增强及消退方式,依据病灶中造影剂增强及消退时间,将病灶内造影剂出现时间早于或同步于周围正常肾实质定义为快进,反之为慢进;消退时间早于或同步于周围肾实质定义为快退,反之慢退;②峰值强度,依据达峰时病灶增强强度与邻近肾实质对比分为

高增强、等增强、低增强,将高增强及等增强归为富血 供,低增强归为乏血供;③达峰时增强均匀性,依据达 峰时病灶内是否出现始终未增强区分为均匀增强和 不均匀增强。

### 三、统计学处理

应用 SPSS 26.0 统计软件,计数资料以频数或率表 示,组间比较采用 $\chi$ 检验或Fisher精确检验。P<0.05为差异有统计学意义。

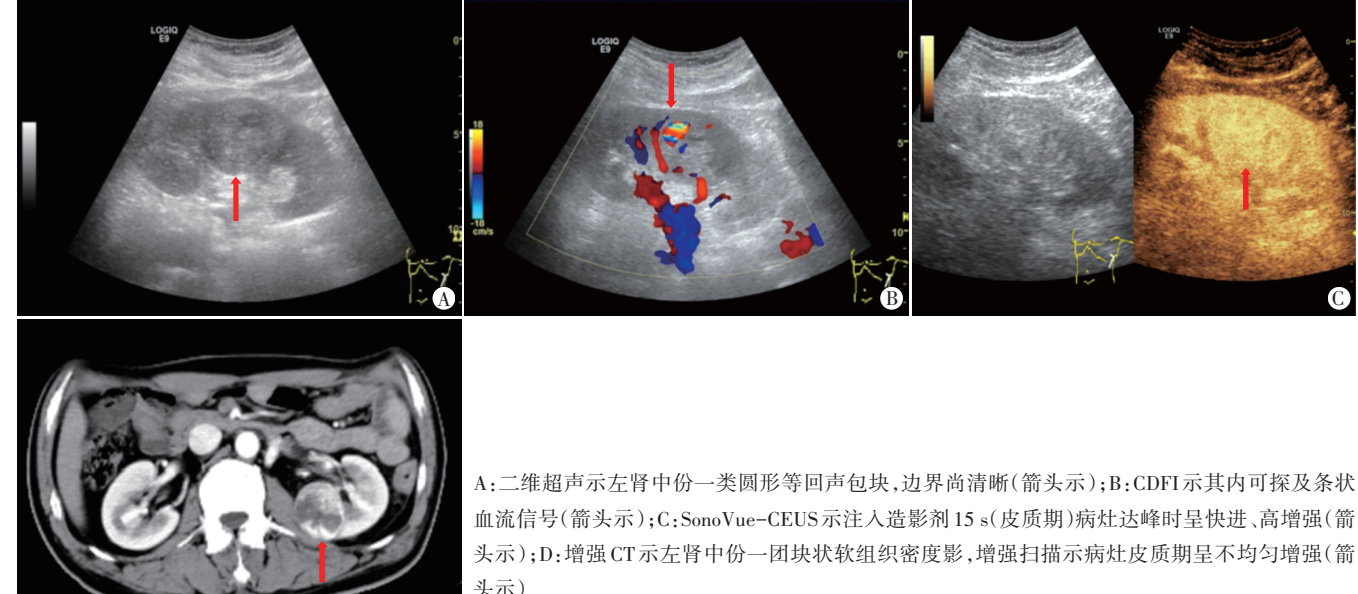
#### 结

一、Sonazoid-CEUS 与 SonoVue-CEUS 增强特征 比较

Sonazoid-CEUS组与SonoVue-CEUS组在病灶增 强方式、消退方式、峰值强度及达峰时增强均匀性方 面比较差异均无统计学意义。见图1,2和表1。

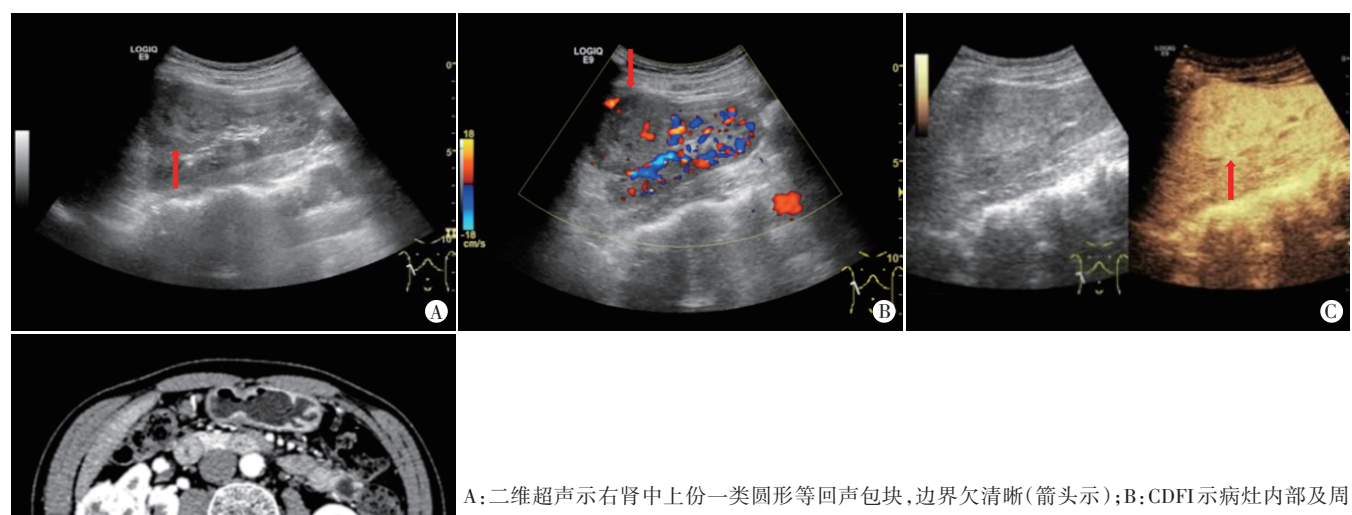
## 二、Sonazoid-CEUS与增强CT增强特征比较

26例 Sonazoid-CEUS 组中, Sonazoid-CEUS 与增强 CT的增强及消退方式均以快进快退表现为主 (73.08%、69.23%),峰值强度均以富血供表现为主 (80.77%、84.62%),二者比较差异均无统计学意义(水= 0.391、0.134,均 P>0.05); Sonazoid-CEUS 示病灶达峰 时呈均匀增强占比显著高于增强 CT (26.92% vs.  $(\chi^2=5.318, P<0.05)$ 。见 图 1,2 和表 2。



血流信号(箭头示);C:SonoVue-CEUS示注入造影剂15s(皮质期)病灶达峰时旱快进、高增强(箭 头示);D:增强CT示左肾中份一团块状软组织密度影,增强扫描示病灶皮质期呈不均匀增强(箭 头示)





边可探及血流信号(箭头示);C:Sonazoid-CEUS示注入造影剂27 s(皮质期)病灶达峰时呈快进、高 增强(箭头示);D:增强CT示病灶皮质期呈不均匀厚环形高增强,内部可见大片不规则未增强区 (箭头示)

图 2 肾透明细胞癌患者(男,49岁)二维超声、CDFI、Sonazoid-CEUS及增强CT图像

例

表 1	Sonazoid-CEUS组与SonoVue-	-CEUS组增强特征比较

6월 명대	增强方式		消退方式		峰值强度		达峰时增强均匀性	
组别	快进	慢进	快退	慢退	富血供	乏血供	不均匀	均匀
SonoVue-CEUS组(21)	15	6	15	6	20	1	17	4
Sonazoid-CEUS组(26)	20	6	19	7	21	5	19	7
$\chi^2$ 值 0.184		0.016		2.184		0.402		
P值 0.668		0.900		0.139		0.526		

表 2 Sonazoid-CEUS 组中 Sonazoid-CEUS 与增强 CT 增强特征比较

例

检查方法 -	增强方式		消退方式		峰值强度		达峰时增强均匀性		
位重刀伝 —	快进	慢进	快退	慢退	富血供	乏血供	不均匀	均匀	
Sonazoid-CEUS(26)	20	6	19	7	21	5	19	7	
增强 CT(26)	18	8	20	6	22	4	25	1	
χ <sup>2</sup> 值	0.391		0.103		0.134		5.318		
P值	0.532		0.7	0.749		0.714		0.021	

# 讨 论

肾透明细胞癌多起病隐匿,且恶性程度高,早期 准确诊断需依赖可靠的影像学检查方法[8]。目前,增 强CT在肾脏肿瘤诊断中应用较为成熟,是其定性诊断 常用的影像学方法之一[9]。CEUS可实时、动态观察病 灶各时相微血流灌注且具有可重复操作、无辐射等优 势,近年已广泛应用于临床,在肾脏肿瘤的检出及鉴 别诊断中发挥着重要作用[8]。超声造影剂是CEUS的 基础和关键,本研究中所使用的超声造影剂SonoVue 和Sonazoid, 微泡构成不同, 其中SonoVue 是一种由单 层脂质膜包裹六氟化硫气体的微气泡造影剂,平均直 径约 2.5 μm; Sonazoid 是由氢化卵磷脂酰丝氨酸钠膜 外壳包裹全氟丁烷而构成,平均直径约2.6 μm<sup>[10-11]</sup>;相 较于SonoVue, Sonazoid 具有稳定的外壳结构, 因此可 在相对较高MI条件下成像[12]。基于两种超声造影剂 不同特性,本研究对比分析了肾透明细胞癌在两种超 声造影剂下的增强特征,结果显示,无论Sonazoid还是 SonoVue,在评价病灶血流动力学表现中均具有相似 特征,均多呈快进快退、达峰时呈不均匀、富血供表 现,且两组在评估病灶增强方式、消退方式、峰值强度 及达峰时增强均匀性方面比较差异均无统计学意义。 然而,与SonoVue相比,Sonazoid可被肝脏及淋巴结中 的网状内皮细胞摄取,产生持续时间>10 min 的 Kupffer期,因而增强了正常组织与无网状内皮系统的 恶性病灶之间的对比[12-14],故扫查完肾脏病灶之后,可 有足够时间继续扫查肝脏及周围淋巴结有无转移灶, 为病灶定性诊断提供额外信息[15]。本研究中所有病 灶均无转移灶,表现为Kupffer期肝内及周围淋巴结均

无异常显影区。

另外,本研究对比分析了肾透明细胞癌Sonazoid-CEUS与增强CT图像的增强特征,结果显示二者评价 病灶增强特征表现基本相似,主要表现为快进快退、 富血供、达峰时不均匀增强,与Liang等[16]研究结果相 似。分析原因可能为肿瘤细胞恶性程度高,生长过程 中释放大量血管内皮因子,促使大量新生血管及动静 脉瘘生成,致使病灶内血流动力学发生变化,从而呈 现快进快退、富血供表现[17]。但在部分病灶中, Sonazoid-CEUS 和增强 CT 也呈现出不同增强特征,本 研究中Sonazoid-CEUS 达峰时均匀增强占比为 26.92% (7/26),显著高于增强CT (3.85%,1/26),二者比较差 异有统计学意义(P<0.05),分析原因可能为:①与增强 CT相比,CEUS可从0s开始实时、动态观察病灶完整 增强及消退过程,对病灶增强早期微血流灌注特征的 显示更敏感,而增强CT是从特定预设时间点(30 s)开 始扫描,无法完整评估病灶增强实时动态过程,故在 部分病灶中可能遗漏增强早期(前30s)的一些重要信 息,从而导致病灶呈现出不同的增强特征;②超声造 影剂与碘造影剂两者性质不同,增强CT所使用的造影 剂为水溶性碘剂,属于细胞外造影剂,直径相对较小, 能透过血管内皮渗入细胞间隙;而超声造影剂为纯血 池造影剂,微气泡直径与红细胞相近,经外周静脉注 入后呈血管内分布,不能穿过血管内皮间隙扩散到细 胞间隙[18],可较长时间地停留在毛细血管内,明显增 加组织与血管之间声阻抗差,因此可有效显示病灶内 血流灌注特征。本研究中有2例患者增强CT表现为 排泄期延迟增强,而Sonazoid-CEUS显示无此特征,呈 现不一样的消退方式,分析原因可能为病灶体积较

大,周围肾实质受压,造成碘剂进入病灶内速度变缓,影响碘造影剂的渗透速度,直至排泄期才达最大增强程度,而超声造影剂对病灶及正常肾脏组织的血流灌注更敏感,不易受周围被压迫供血动脉影响<sup>[7]</sup>,因此呈现不一样的增强特征。

综上所述, Sonazoid 同样适用于肾脏 CEUS, 与SonoVue-CEUS 及增强 CT一样均可较好地显示肾透明细胞癌的血流灌注特征, 其增强特征主要表现为快进快退、不均匀增强及富血供。对于 CEUS 与增强 CT两种影像学检查方法, 因其成像原理不同, 部分病灶增强特征可能存在一定差异, 两者相互补充, 熟练掌握其增强特征, 可进一步提高肾透明细胞癌的诊断准确率。但本研究纳入病例数较少, 且仅对肾透明细胞癌进行分析, 未对其他类型肾脏肿瘤进行研究, 研究结果可能存在一定偏倚, 待今后扩大样本量进行更细致分类, 对肾脏不同病理类型肿瘤在不同造影剂、不同检查方法下的增强特征进行深入研究。

#### 参考文献

- [1] Ljungberg B, Albiges L, Abu-Ghanem Y, et al. European Association of Urology Guidelines on Renal Cell Carcinoma: the 2019 Update[J]. Eur Urol, 2019, 75(5): 799-810.
- [2] Chen W, Zheng R, Baade PD, et al. Cancer statistics in China, 2015 [J].CA Cancer J Clin, 2016, 66(2):115-132.
- [3] Ljungberg B, Albiges L, Abu-Ghanem Y, et al. European Association of Urology Guidelines on Renal Cell Carcinoma: the 2022 Update[J]. Eur Urol, 2022, 82(4):399-410.
- [4] 陈凯玲,罗荣奎,朱宇莉,等.肝细胞腺瘤超声造影与增强CT表现对比分析[J].中国临床医学,2022,29(2);247-254.
- [5] 陈烁淳,许敏,顾炯辉,等.超声造影剂 Sonazoid 的研究进展[J]. 中华超声影像学杂志,2020,29(7):636-641.
- [6] Sidhu PS, Cantisani V, Dietrich CF, et al. The EFSUMB Guidelines and Recommendations for the Clinical Practice of Contrast– Enhanced Ultrasound (CEUS) in Non-Hepatic Applications; Update

- 2017 (Long Version)[J].Ultraschall Med, 2018, 39(2):2-44.
- [7] 土继政,张少飞,梁华,等.肾恶性占位性病变的 Sonazoid 超声造影和增强 CT 增强特征的对比研究[J].中国临床医学影像杂志, 2022,33(11):788-793.
- [8] 匡秀锋,王辉阳,项尖尖,等.超声造影融合微血流成像在肾良恶性肿瘤鉴别诊断中的应用[J].中华超声影像学杂志,2022,31(8):
- [9] 朱海滨,杜娟君,范义,等.超声造影联合多层螺旋CT鉴别诊断肾嫌色细胞癌与肾嗜酸细胞腺瘤的价值[J].临床超声医学杂志,2022,24(3):206-210.
- [10] Barr RG, Huang P, Luo Y, et al. Contrast-enhanced ultrasound imaging of the liver: a review of the clinical evidence for SonoVue and Sonazoid[J]. Abdom Radiol(NY), 2020, 45(11):3779-3788.
- [11] 何蒙娜,姜玉新,吕珂.超声造影剂 Sonazoid 与 Sono Vue 的物理特征 及临床特点比较 [J].中国医学影像技术,2015,31(2):306-309.
- [12] 郭辉, 刘隆忠, 郑玮, 等. 高频条件不同机械指数下 SonoVue 与 Sonazoid 对兔肝超声造影效能的比较[J]. 中华医学超声杂志(电子版), 2011, 8(5): 958-967.
- [13] 孙彦,雷玉涛,郝云霞,等. SonoVue 及 Sonazoid 在早期乳腺癌患者前哨淋巴结定位中的初步研究[J]. 中华医学超声杂志(电子版),2021,18(2);159-163.
- [14] Atri M, Jang HJ, Kim TK, et al. Contrast-enhanced US of the liver and kidney: a problem-solving modality[J]. Radiology, 2022, 303(1): 11-25.
- [15] Zhai HY, Liang P, Yu J, et al. Comparison of Sonazoid and SonoVue in the diagnosis of focal liver lesions; a preliminary study [J]. Ultrasound Med, 2019, 38(9): 2417-2425.
- [16] Liang RX, Wang H, Zhang HP, et al. The value of real-time contrastenhanced ultrasound combined with CT enhancement in the differentiation of subtypes of renal cell carcinoma [J]. Urol Oncol, 2021, 39(12):837.
- [17] 刘龙,杜联芳,史秋生,等.超声造影定性及定量评价不同大小肾透明细胞癌[J].临床超声医学杂志,2019,21(8):570-573.
- [18] 张文君,郭少文,刘建新,等.超声造影对直径<4 cm 肾脏占位性 病变的诊断价值[J].临床超声医学杂志,2016,18(9):630-632. (收稿日期:2023-03-07)